

Introducción

A repercusión del curado de los hormigones en su calidad final es bien conocida, aunque es un cuidado que no se le viene prestando la atención que merece.

En los estudios llevados a cabo

turas y Materiales financiados por la Dirección General de Carreteras, ha podido cuantificarse la influencia de la eficacia de curado en los parámetros básicos de calidad del hormigón, como son la compacidad y la resistencia mecánica.

Con referencia al primer aspecto sucede que una alteración en la humedad disponible durante el fraguado y madurez inicial, modifica las en el Laboratorio Central de Estruc- condiciones de evolución de la hi- portante en los firmes de hormigón

dratación del cemento, modificando la distribución de fracciones volumétricas.

La influencia de las pérdidas tempranas de agua se manifiesta por tanto en dos aspectos básicos como son:

- Alteración de la hidratación de la pasta de comento.
- Alteración del endurecimiento de la pasta de cemento.

La cuestión es especialmente im-



gón para pavimentos (Cono de Abrams 2 cm aproximadamente).

de carreteras, donde se ponen en obra básicamente hormigones de consistencia seco-plástica (foto 1).

Alteración de la estructura porosa

Para la verificación de la alteración experimentada por la estructura porosa, al cambiar las condiciones de curado, se realizaron ensayos que pueden agruparse en dos conjuntos

perfectamente diferenciados:

 Ensayos para determinación de la alteración en la hidratación y poroxidad.

 Ensayos para determinación de la alteración en la resistencia.

El primer grupo de ensayos se efectuó al término del Ensayo de Retención Diferida (véase Bibliografía). Las probetas se fabricaron con mortero de cemento normalizado en la Norma UNE 80.101. Los moldes usados fueron bandejas metálicas de 32 x 25 x 5 cm (foto 2).

Las proporciones dosificadas por probeta fueron: 864 g de agua, 1 728 g de cemento y 5 182 g de áridos (total 7 774 g).

Es decir una amasada con una relación agua/cemento W/C = 0,50 y una disponibilidad de agua inicial por metro cuadrado de 10,8 kg.

Antes de la aplicación del tratamiento superficial se constataron unas pérdidas medias por probeta, debidas a la exudación, de 18,7 g (0,234 kg/m²). Esto significa úna ligera corrección de la relación agua/ cemento inicial W/C = 0,489 y de la disponibilidad inicial de agua 10,566 kg/m².

Se aplicaron 15 tratamientos superficiales con distintos productos filmógenos. De cada producto se fabricaron tres probetas, dos de ellas con la dotación normal de producto 250 g/m² y la tercera con una dotación superior, 400 g/m². Cinco probetas se dejaron sin tratamiento.

Las probetas se mantuvieron durante 72 h en unas condiciones medias de sala de laboratorio de 24°C de temperatura y 50% de humedad relativa. Posteriormente se expusieron durante 100 días a un clima ex-

ntes de la aplicación del tratamiento superficial se constataron unas pérdidas medias por probeta, debidas a la exudación, de 18,7 g (0,234 kg/m²). Esto significa una ligera corrección de la relación agua/cemento inicial W/C = 0,489 y de la disponibilidad inicial de agua 10,566 kg/m².

terior de verano caluroso, con exposición solar diurna permanente. Esta fase constituyó el Ensayo de Retención Diferida a la Intemperie.

El estado final de las probetas representa el punto de partida para la realización del Ensayo de Agotamiento de Humedad.

EL ENSAYO DE AGOTAMIEN-TO DE HUMEDAD nos va a revelar la influencia que ha tenido la eficacia del curado en la hidratación.

En el origen del ensayo las probetas tenían una madurez ligeramente superior a las 4 000 h y su estado era muy seco. A partir de ese momento inicial fueron introducidas en estufa a una temperatura de 110°C durante 60 días. (foto 3) (Ver página siguiente)

Periódicamente las probetas cran extraídas de la estufa, para la comprobación de su peso en una balanza

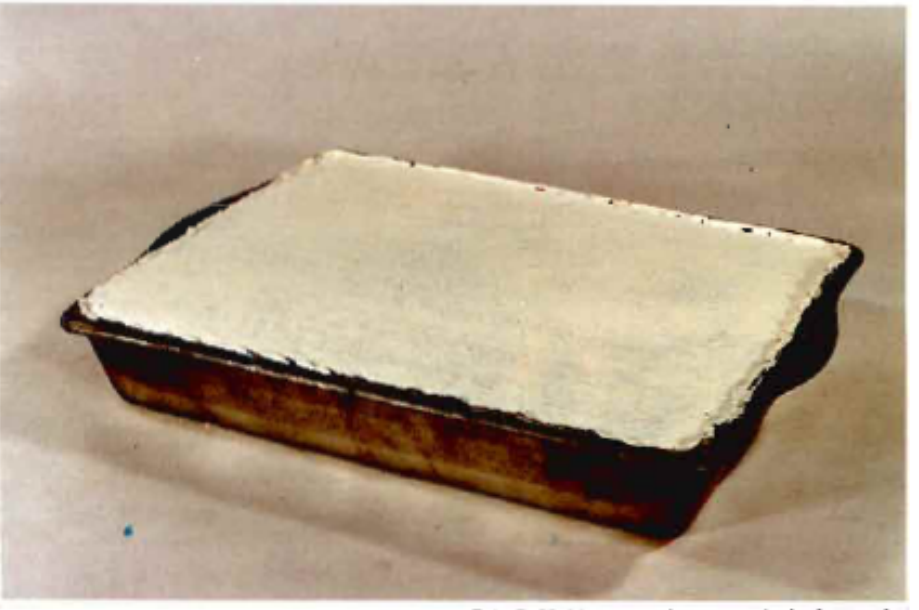


Foto 2. Molde con probeta y producto de curado.

RUTAS TÉCNICA

Marc	n inicial	4 d	7 4	11 d	15 d	20 d	25 d	32 d	Máxima
Sin trate	otiento s								
13 25	5,37	7,13	7,16	7.21	-				~ ~ ~
37	5,40	7.13	7.11	7,25	7,25	7,41	7.45	7,53	7.70
50	5.23	7,50	7,58	7,58	7.58	7,58	7.58	7,61	7,73
Media	5,35	7,22	7,24	7,29	7,32	7.37	7.39	7.57	7,70
Merma	0	1,87	1,89	1.94	1.97	2,02	2,04	2,22	2,35
Con trat	amiento	de prode	icto 1						
11	4.28	6.72	6,79	6,84	6.95	6.95	6.95	6,95	6,95
12	4,26	6,60	6.66	6,69	6,69	6,71	6.73	6,76	6.78
i 4 Media	4,53	7.07 6.80	7,12	7,19 6,91	7.19 6,94	7,37	7,37	7,40	7,43
Merma	0	2.27	2,33	2.38	2.41	2,48	7.02	2,51	7.05
				-	447.1	2,40	2.43	4,71	2.30
Con trat	4,29	7,05	7.11	7.16	7,16	7.16	7.16	7.16	7.16
16	4,33	7,30	7,35	7,35	7,35	7.35	7.35	7,10	7,38
17	2.84	7.03	7.09	7,13	7,13	7.34	7.37	7,37	7,35
Media	3,82	7,13	7.18	7,21	7,21	7,28	7,29	7.30	7.31
Merma	0	3,31	3,36	3,39	3.39	3.46	3,47	3,48	3.45
	amlento	de produ	cto 3						
18	3,43	7,07	7.14	7,33	7.33	7,42	7.45	7,52	7,57
10	3.22	5,95	6.49	6,71	6,83	7.09	7,09	7.09	7.05
20 Media	3.27	5,63	6.33	6,64	7,13	7.17	7,17	7,17	7,17
Merma	0	2.91	3.34	3.58	3.79	7,23	3.93	7.26 3.95	3.97
	- 27				ASS. 1800		200	. 419.0	1000
Con trut 21	amiento	3.36	4.04	4.74	6,95	6,99	7.12	7,17	7,26
22	1,12	3,06	3,83	4.69	6.89	6.98	7,16	7.22	7.39
2.3	1,11	2.12	2.77	3,87	7,13	7.19	7.26	7.31	7,39
Media	1,25	2,85	3,55	4.43	6.99	7.05	7.18	7,23	7,35
Merma	0	1.60	2,30	3,18	5.74	5.80	5.93	5,98	6,10
	amiento								
24	4,49	6.58	6,73	6,82	6,92	7,04	7.25	7,49	7,54
26 27	4,55	7,05 6,89	0.94	7.16	7.32	7,32	7,32	7,33	7,51
Media	4.53	6.84	6,94	7,04	7,14	7.18	7.30	7,34	7,34
Merma	0	2,31	2.41	2,51	2,61	2,65	2.77	2.86	2.93
Con trut	majento	de prod:	cto 6						
28	3,02	7,13	7.15	7.19	7.19	7.19	7.19	7.19	7.19
29	2,97	7.14	7,18	7.30	7.30	7.31	7.32	7,35	7,38
30	2,04	6,93	6.97	7,10	7,13	7,20	7.23	7.26	7,29
Media Merma	2.68	7.07	7.10 4.42	7,20 4,52	4.53	7,23	7.25	7,27	7,29
				4.02	4,33	4,33	4,57	4,59	4,61
Con Ical	amiento	de produ		4.10			2.2		1000
3	2,63 3.96	5.68	6,26	6,42	6.57	6,69	6.74	6.78	7.11
4	2,79	6,42	5.58	6,42	6.67	6,58	6,62	6,63	7.16
Media	3.13	5.97	6,35	6,50	6.58	6,65	6.74	6.76	7.08
Merma	0	2.84	3.22	3.37	3,45	3,52	3.61	3,63	3,95
Con trut	amiento	de prod	ecto 8						
5	3,92	6,46	6.59	6.66	6,85	6,86	6.89	5.90	7,20
6	3,90	6.41	6,53	6,60	6.70	6.78	6.84	6,85	7,05
7 Marka	3.89	6.79	6.83	6.90	6,90	6,90	6.90	6.90	6,90
Media Medica	3.90	2,65	6,65 2,75	2,82	2.92	6.85 2.95	6.88	6,88	7,05
				2,02	4,74	2013	2,70	2.96	3,13
Con trat	umiento 4,63	7,29	7,31	771	7,31	221	221	2.24	4.00
32	5.02	7.30	7,31	7,31	7,31	7,31	7,31	7,34	7,40
33	4,38	7,24	7,28	7.28	7,28	7.32	7.32	7.62	7,62
Medu	4.68	7,28	7,31	7.32	7.32	7.33	7,33	7,59	7.61
Menna	0	2.60	2.63	2.64	2,64	2,65	2.65	2.91	2.93
Con trat	umiento	de produ	ecto 10						
8	4,08	6,80	0.89	6,95	7.13	7,17	7,25	7.26	7,30
9	4,08		6,71	6,78	6.86	6,89	5.91	6,91	5,97
IO.	3,84	6.97	7.09	7.11	7,11	7,11	7,11	7.11	7.11
Mediu Merma	4,00	6,80 2,80	6.90 2.90	6,95 2,95	7.03	7,06	7,09	7,09	7.11
2-				4973	-5,443	3383	3,09	3.09	3,11
	amiento			2.65	2.42			110 200	
38	4,50	6,61	6,80	7,62	7,62	7,62	7.52	7,68	7.87
40	4,38	7,31	7,31	7,31	6,93 7,31	7,53	7,69 7,31	7,69	7.65
Media	4,44	6,77	6,85	7,17	7.29	7,49	7,54	7.56	7.6
Merma	0	2.33	2,41	2,73	2,85	3,05	3.10	3.12	3.17



de precisión, siendo reintegradas a la estufa sin demoras.

En las TABLAS adjuntas se muestran las pérdidas de agua sufridas por las probetas en distintas fechas. Las pérdidas se refieren a la masa original una vez exudada. Las mermas pueden obtenerse por diferencia y representan las pérdidas efectivas en la estufa.

El desarrollo del Ensayo de Agotamiento de Humedad probó que a pesar del estado excesivamente seco del mortero aún quedaba un notable volumen de agua capitar en la red de poros.

Las probetas que estabilizaban su peso eran cambiadas de postura en la estufa para facilitar la salida del vapor de agua de la trama porosa. También fueron liberadas de los moldes, para que la evaporación tuviera efecto por todas las caras.

El ensayo se mantuvo a 110°C sin interrupción durante 60 días, aunque ya a los 40 días todas las probetas evidenciaban un peso constante.

De los resultados obtenidos puede establecerse una comparación entre el efecto que ha tenido en la evolu-

En testigos sin curado
7,70 kg/m²
2,87 kg/m ²
0.13



Foto 3. Estufado de las probetas.

ción de la hidratación un curado de alta eficacia y uno de baja eficacia. Con tal fin se han promediado los resultados para productos de calidad alta (2, 3, 4, 6, 7, 8 y 10), con un Coeficiente de Eficacia medio del 91%, con los obtenidos para productos de calidad baja (1, 5, 9, 11 y 13), con un Coeficiente de Eficacia medio del 65%.

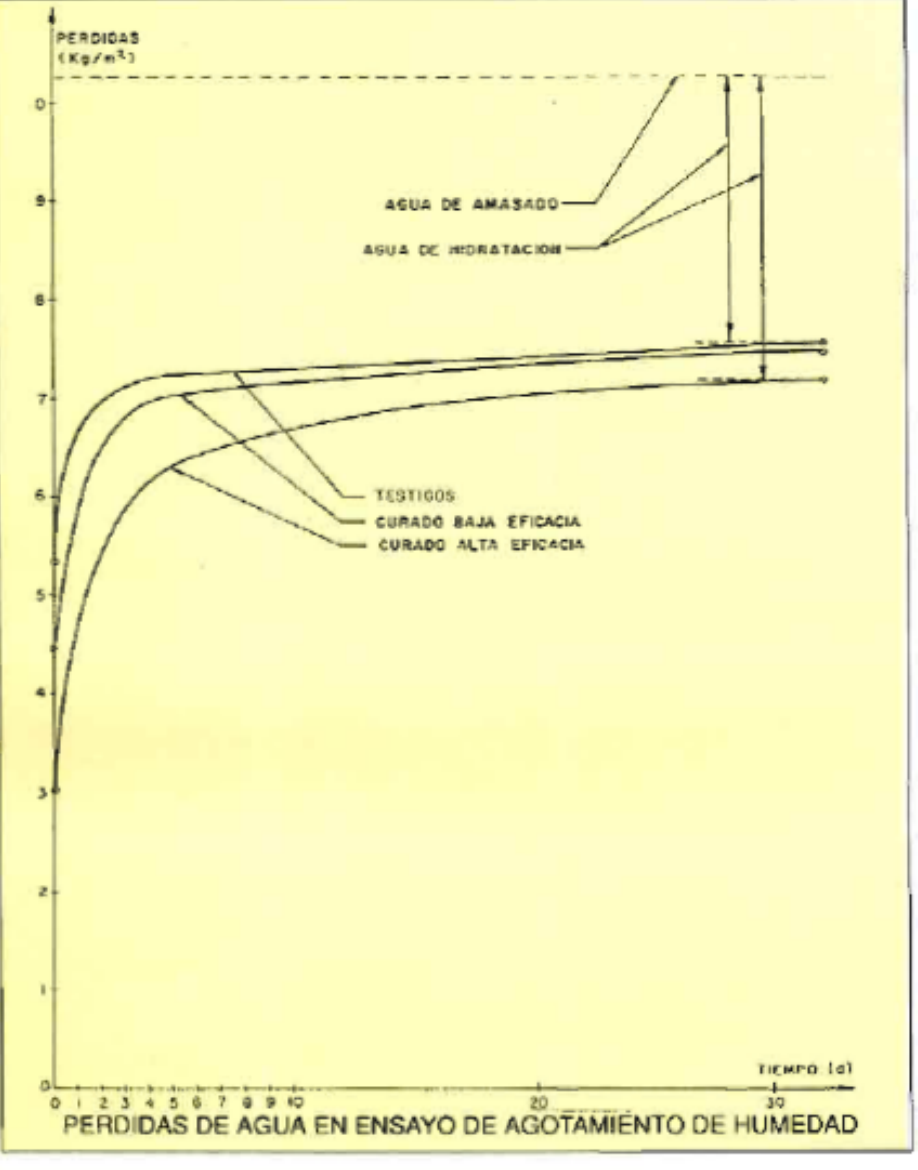
Los valores estadísticos se muestran en la TABLA adjunta, representándose en la FIGURA correspondiente. Finalmente podemos destacar las interesantes cifras siguientes: (ver cuadro inferior)

Es decir una pasta de cemento bien curada asimila 0,48 kg/m² más de agua estructural de hidratación, lo que representa en porcentaje un 17%.

Se realizaron observaciones microscópicas entre las pastas bien curadas y deficientemente curadas, pudiendo advertirse en las primeras, de forma cualitativa, una mejor trabazón y compacidad de gel microcristalino con una menor proporción de cemento anhidro.

En probetas	En probetas	
curadas	curadas	
con alta	con baja	
eficacia	eficacia	
7,22 kg/m ² 3,35 kg/m ² 0,16	7,57 kg/m ² 3,00 kg/m ² 0,14	

3	farca inicial	4 4	7 d	11 d	15 d	20 d	25 d	32 d	Máxim
Con tra	atamiento d	e produ	ecto 12						
34	2.48	7,26	7,29	7,29	7,29	7,37	7,37	7.41	7,44
35	2.39	7,18	7,22	7,27	7,27	7,27	7.27	7,27	7.27
36	1,68	7,03	7,08	7,38	7,18	7,18	7,18	7,18	7,1
Media	2.18	7,16	7.20	7.25	7,25	7,27	7,27	7,29	7.3
Меппи	0	4,98	5.02	5,07	5,07	5,09	5,09	5,11	5,13
Con tra	itamiento d	e prodi	icto 13						
41	4,00	6,72	6.72	6,99	6.99	7,70	7.88	7,88	7.8
42	3,80	6.94	5.94	6,99	7.31	7.52	7.68	7.68	7.6
13	3,00	7,60	7.62	7,63	7,63	7.63	7,65	7.65	7.6
Media	3,60	7.09	7.09	7,20	7,31	7,62	7,74	7,74	7.7
Меппа	0	3,49	3,49	3,60	3,71	4.02	4,14	4,14	4.1
Con tra	atamiento d	e produ	icto 14						
44	2,77	7,27	7.27	7.34	7,57	7.57	7,57	7.57	7.6
45	3,15	7,34	7,34	7.36	7,42	7,45	7,53	7,53	7,5
46	2.51	7,04	7.04	7.04	7,20	7,34	7,44	7,44	7.4
Media	2.81	7.22	7.22	7.25	7,40	7.45	7,51	7,51	7,5
Merma	0	4.41	4,41	4.44	4.59	4.64	4,70	4,70	
Con tr	atamiento d	e prodi	ecto 15						
47	3.08	7,06	7.11	7.11	7,11	7,11	7,11	7,11	7,1
48	3.07	7,53	7.63	7,63	7,63	7.63	7.63	7.63	7.6
49	2.48	7.44	7.47	7.51	7.51	7.51	7.51	7,51	7.5
Media	2.88	7.34	7.40	7,42	7,42	7,42	7,42	7,42	
Merma	0	4,45	4,52	4.54	4.54	4.54	4,54	4,54	



rutas técnica —

Fecha (d)		s totales esviación	Pérdidas en estufa Media desviación					
- Con tratamiento de PRODUCTOS DE ALTA EFICACIA								
Inicial	3,03	0,96	0	0				
4	6,22	1,43	3,19	1.06				
7	6.45	1,21	3,41	0,89				
11	6,64	0.93	3,61	0,78				
15	7.02	0,23	3,99	1,02				
20	7,08	0,23	4,04	1,02				
25	7,12	0,20	4.08	1,03				
32	7.14	0,21	4,10	1.05				
Múx.	7,22	0,12	4,19	1,04				
- Con trata	miento de PR	ODUCTOS I	DE BAJA EFIC	ACIA				
Inicial	4,46	0,54	0	0				
4	7,01	0.21	2,60	0.51				
7	7.06	0.18	2,65	0.48				
11:	7,18	0,10	2,77	0,48				
15	7,25	0.08	2,84	0,51				
20	7,40	0,17	2.97	0.62				
25	7.46	0.18	3.03	0.66				
32	7.54	0.15	3,11	0.63				
Máx.	7,57	0.13	3,14	0.61				

Estudio microestructural

De las probetas ensayadas se prepararon muestras para su análisis

microestructural. Se trataba de comparar la microestructura, de las matrices hidratadas de cemento, en las probetas tratadas con un producto

adecuado frente a las probetas testigo o mal curadas. Los campos elegidos fueron las superficies internas de las pequeñas inclusiones de aire. (Véase fotos 4 y 5).

La razón de esta elección era ascgurar una zona de concentración de pasta de cemento con una superficie razonablemente plana.

Como era de esperar en las probetas testigo se pudo apreciar una microfisuración de retracción mucho más acusada. (Véase fotos 6 y 7).

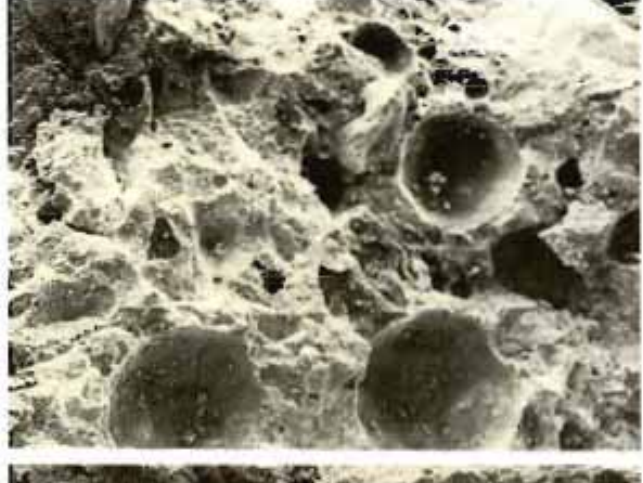
También la porosidad era mucho mayor en las probetas testigo, intuyéndose ya una menor capacidad resistente.

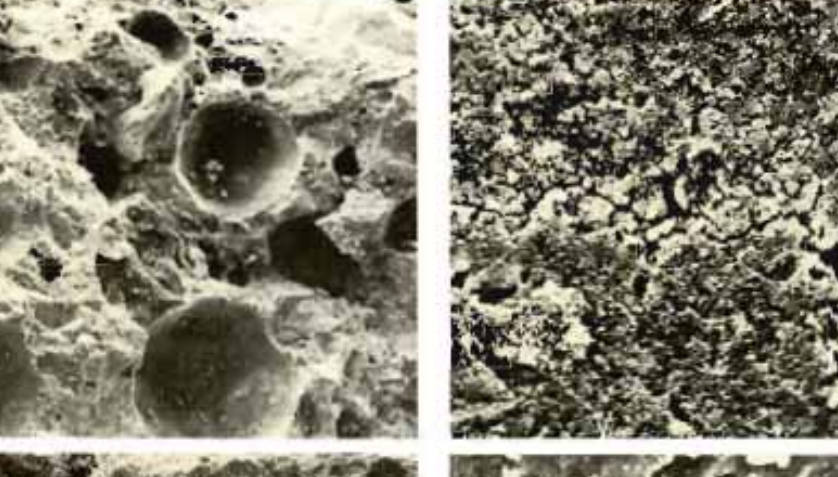
Las estructuras obtenidas fueron evaluadas mediante las técnicas de Análisis Digital de Imagen (fotos 8, 9 y 10).

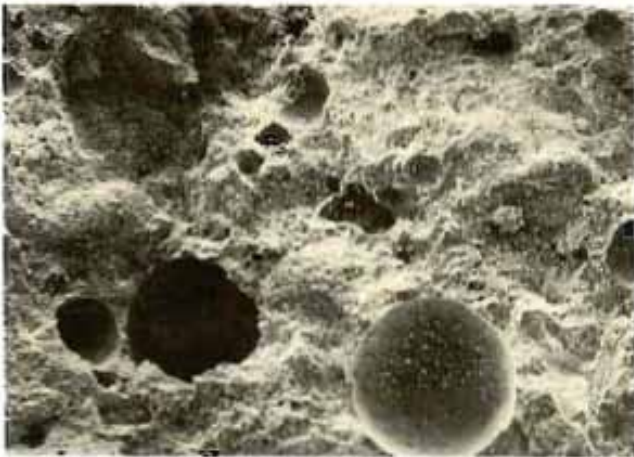
La cuantificación de porosidades obtenida mediante análisis digital confirma el orden de las cifras ya citadas del Ensayo de Agotamiento de Humedad (foto 11).

Bibliografía

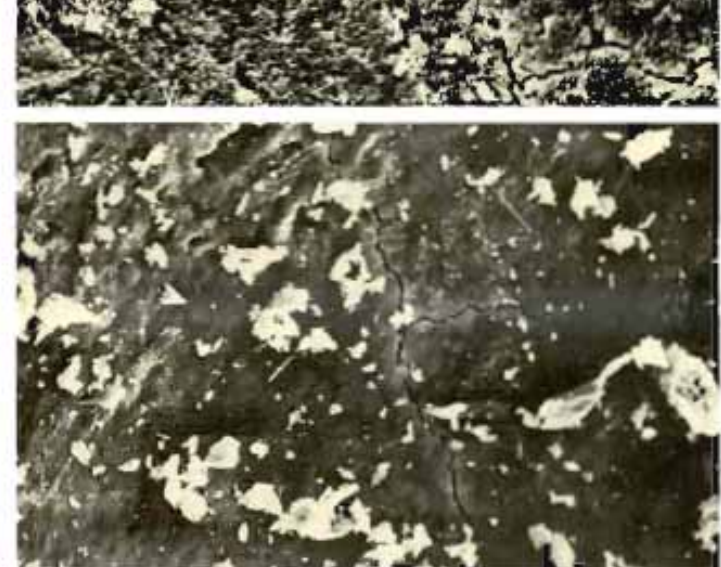
- Productos Filmógenos de Curado del Hormigón
 - F. J. Sáinz de Cuetn y A. R. López Revista Rutas. Asociación Técni-



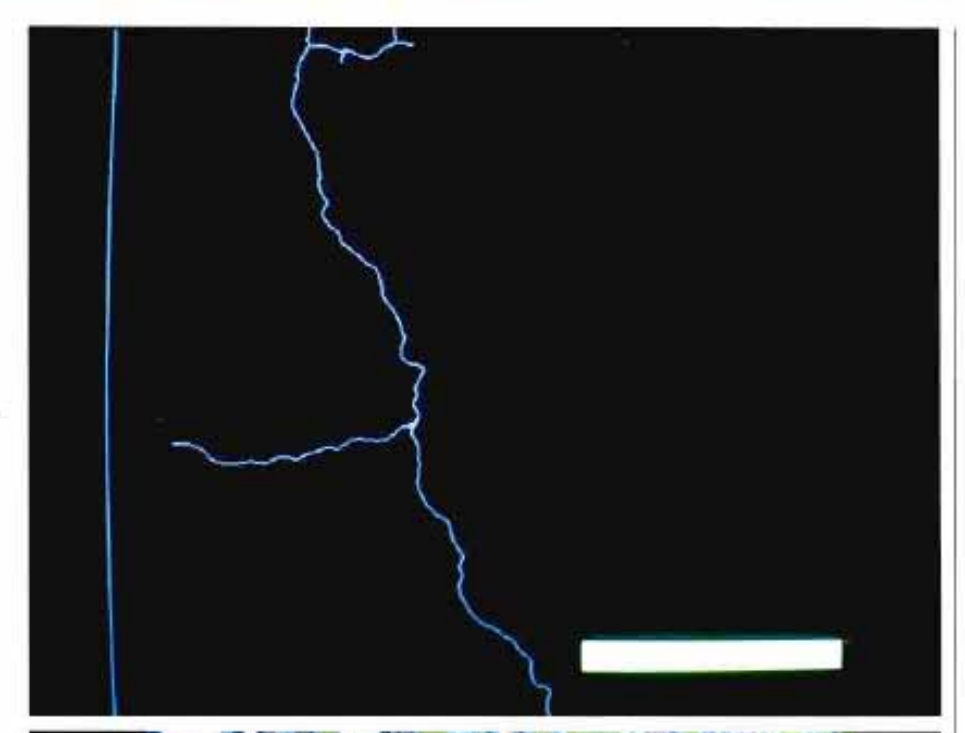


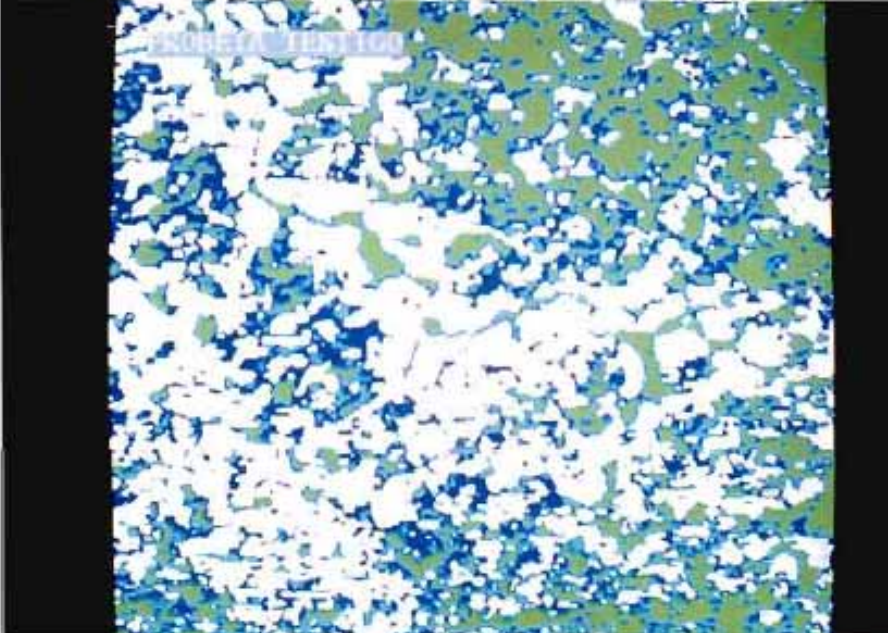


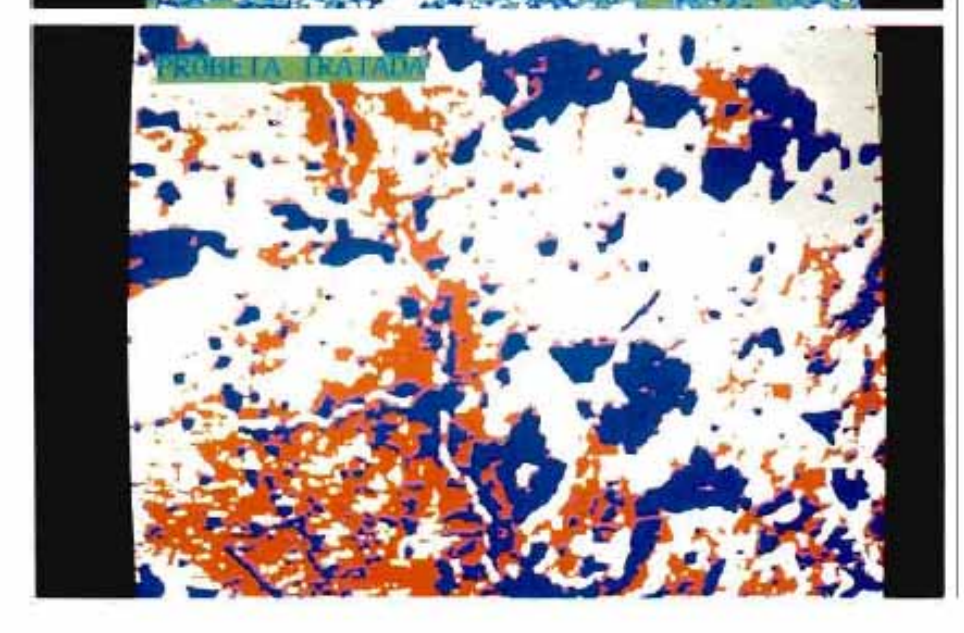
Fotos 4 y 5. Campos de observación microscópica en al interior da pequeñas burbujas de aire ocluido.



Fotos 6 y 7. Textura porosa de la pasta de cemento analizado. Obsérvese la diferencia de poroxidades entre la probeta testigo y la tratada.







- ca de Carreteras, Nº 14. Madrid, Julio 1.989.
- Experimentación en Cámara Climática de los productos Filmógenos para el Curado de Hormigón.
 F. J. Sáinz de Cueto y A. R. López Revista Rutas. Asociación Técnica de Carreteras. Nº 15.
 Madrid, Octubre 1.989.

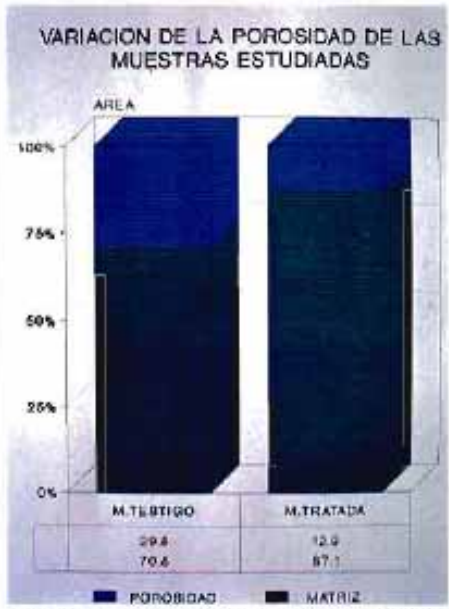


Foto 11. Cuantificación de la porosidad obtenida mediante análisis digital de imagen.

- Comportamiento en Ambiente Real de los Productos Filmógenos para Curado del Hormigón, Ensayo de Retención Diferida. F. J. Sáinz de Cueto y A. R. López Revista Rutas. Asociación Técnica de Carreteras. Nº 17, Madrid, Marzo 1,990.
- Estudio en Túnel de Viento de los Productos de Curado. Normativa MELC.
 - F. J. Sáinz de Cueto y A. R. López Revista Rutas, Asociación Técnica de Carreteras, Nº 18. Madrid, Mayo 1.990
- Pliego de Condiciones para el Estudio de los Productos de Curado en Pavimentos de Hormigón.
 F. J. Sáinz de Cucto Informe para la Dirección Gral, de Carreleras. MOPU. Laboratorio Central de Estructuras y Materiales. CEDEX. Madrid. Marzo 1.990.
- Porosidad. Humedad y Curado del Hormigón. F. J. Sáinz de Cueto Curso sobre Aplicación de Técnicas Físicas de Análisis al Estudio y Control de Materiales. CEDEX. Madrid. Febrero 1.990.

De arriba a abajo. Foto 8: Red de fisuración fina y espaciada en las probetas tratadas con productos filmógenos. Fotos 9 y 10: Análisis de imagen de campos microscópicos en las probetas testigo y tratadas.